

相互診断機能をもつマルチ・マイクロ  
プロセッサシステム AKOVST

A MULTIPLE MICROPROCESSOR SYSTEM  
WITH MUTUAL DIAGNOSING CAPABILITY

阿江忠一 高橋 浩一 伊藤 鶴美 千葉 治義  
Tadashi AOE Koich TAKAHASHI Turumi ITO Haruyoshi CHIBA  
広島大学 工学部 Faculty of Engineering Hiroshima University

あらまし

並列処理機能をもつマルチマイクロプロセッサシステム（処理用プロセッサ4台とスーパーPバスイザ1台）を製作した。特長は、1.プロセッサ間交信を極力ハードウェア化することによりを小さくしたこと、2.相互に診断しあう機能を設け信頼性の向上に努めたことにある。これらの2点を当面の目標である画像表示システムとして使用した場合について述べるが、現在計画中の本格的なマルチマイクロプロセッサシステム製作の指針となる。

1. 考え方

マイクロプロセッサがLSI技術の進歩に伴い安価に供給されるようになって、従来、どちらかといえど理論面の研究が先行していた並列処理計算機の研究が製作とともに今まで行なわれるようにになってきている。

我々も同様の趣旨でマルチマイクロプロセッサシステムの製作にとりかかったが<sup>(1)</sup>、当初は小規模なシステムではあるが、(i)特に使用目的を定めず、より大規模なシステムのパイロットモデルとしての使用（モード1）、(ii)専用目的として画像表示のマルチプロセッサ化（モード2）という欲張った使い方のシステムAKOVSTを昨年度ひとまず完成した<sup>(2)</sup>。当初の予定、プロセッサ数8個は費用等の点から4個とせざるを得なかつたが、おおむね予定どおりに作られている。

特長としては、従来の諸研究から考察した結果<sup>(3)</sup>、プロセッサ数の上限を大きくするには極

力、オーバーヘッドを小さくする必要があり、AKOVSTでは、オーバーヘッドの減少のため極力ハードウェア化する方針をとっていることである。具体的には、メモリのコンテンションに伴う時間遅れを少なくするためにリード・ウェア化をばかり、一応の効果が得られた。

その半面、若干データ転送における誤り率を考慮せざるを得なくなつた。

本報告では、直接的にはこのような理由で、プロセッサ間相互に診断機能を設けたマルチプロセッサシステムの現状を述べるが、相互診断方式そのものは従来からのシステムにも適用できる性質のものであり、マルチプロセッサシステムにおける相互診断の一一般的考察も同時に行なっている。

2. プロセッサ間通信の方式

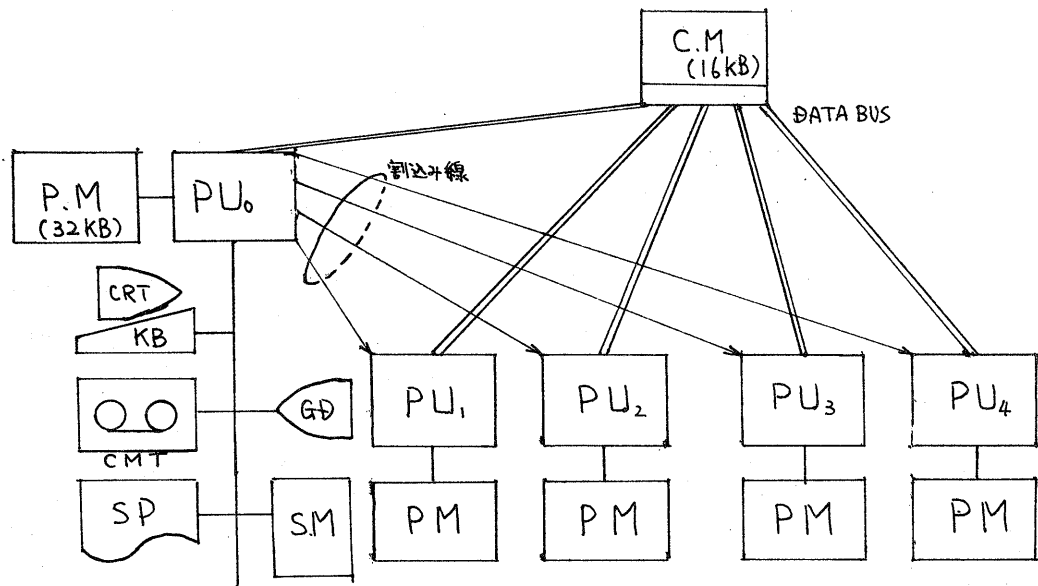
AKOVSTは共有メモリ（16KB）を介してプロセッサ間通信を行う方式（図1）をとっている。

FIFO（First in First out）スケジューリングによりパイオライン並列処理を行おうとするとき、アービタを用いると都合がよい。

アービタを用いて共有メモリ（CM）をシェアする方式は通常は図2(a)のように、

Request-Acknowledge方式 (R-H方式と略す)

- 1). 共有メモリを Request する。
  - 2). Acknowledge が帰ってきてるまで待機、帰ってきたら共有メモリを Access する。
  - 3). Access が終了したら release する。
- という方式がとられる。



PU : Processor Unit      CRT : Cathod Ray Tube      GD : Graphic Display  
 PM : Private Memory      KB : Key Board      SM : Switch Matrices  
 CM : Common Memory      CMT : Cassette Mag. Tape.      S.P. : Serial Printer

図1 AKOVSTの概略図

R-A方式の場合、1つのプロセッサユニットPUiが資源CMを専有している間、ほかのプロセッサは要求を出し続ける。Acknowledgeの帰ってくるのを待つ。

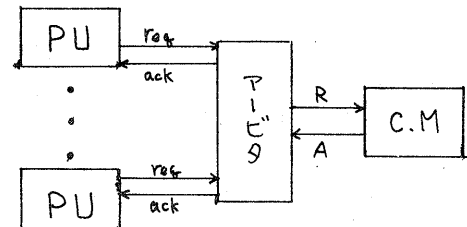
一方、本方式はオーバーヘッド軽減のため、図2(b)に示す次の方式をとった。

#### Access-Wait 方式 (A-W 方式と略す)

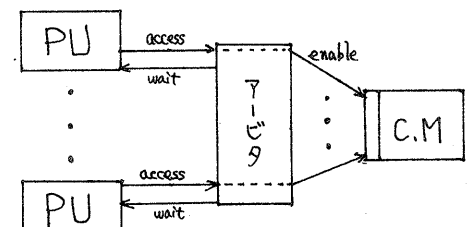
- 1). 共有メモリを Access する。
- 2).もし Access 不可能な場合は、WAIT 状態に入る。
- 3). 1マシンサイクルが終わると release する。

具体的なハードウェア構成は図3のとおりである。なお、アービタは付図1に示すレース形を用いている。

A-W方式とR-A方式との比較を表1に掲げる。A-W方式とR-A方式との伝送効率をステート数で比較する。(PUiはすべてDMAである。)



(a) R-A 方式



(b) A-W 方式

図2 共有メモリアクセスの方式

A-W方式		スタート数
TRANS : L X I	H, Commonadr.	10
L X I	D, Count	10
TRANS1 : STAX	B	7
I NX	H	5
I NX	B	5
DCR	E	5
JNZ TRANS1		10

この例では  $x$  Byte の転送に要するスタート数  $T_{S1}$  は  $T_{S1} = 20 + 32x \dots (1)$  である。

#### R-A 方式

Request : MVI A, 1	7
OUT Port	10
Ack : IN AckPort	10
ANI 1	7
JNZ Ack	10
TRANS : 上と同じ	$20 + 32x$
Release : MVI A, 0	7
OUT Port	10

この例では  $x$  Byte の転送に要するスタート数  $T_{S2}$  は  $T_{S2} = 81 + 32x \dots (2)$  である。

### 3. マルチプロセッサ化した画像表示方式

画像表示のための並列処理システムは一般に図4のように表わすことができる。入力はアレイ(配列)で示してあるが、リスト構造等でも構わない。いずれにしても、画像表示システムへの入力は大型機、あるいはミニコンなどで処理されて得られたデータと考え、この並列処理を行う画像表示システムは、それらのデータを入力とするインテリジェントターミナルとして位置づけられる。

	R-A 方式	A-W 方式
ソフトウェア	短いメッセージに対して Request-Release が必要	要求に対して不要
効率	短いメッセージに対してメッセージの長短に悪い	閑らす R-A 方式より良い
誤り率	普通	R-A 方式より若干悪い

注. AKOVSTにおける A-W 方式では、CM を使ったプロセス間の転送にはサムチェックを行い、誤まれば Roll Back。システム変数には二度読みでサポートしている。

表1 R-A 方式と A-W 方式との比較

PUへの入力は大型機、あるいはミニコンなどで処理されて得られたデータと考え、この並列処理を行う画像表示システムは、それらのデータを入力とするインテリジェントターミナルとして位置づけられる。

重要なことは、マルチプロセッサ化されたシステム (Multi Microprocessor System. MMSと略す) は 1 バイライン処理を行うことで並列化の効果をあげなければならない。汎用機の場合一般にオーバーヘッドのため、並列化に効果のあるプロセッサ数には意外に低い上限があり、愚ければ 8、良くても 16 程度というデータが多い(3)。

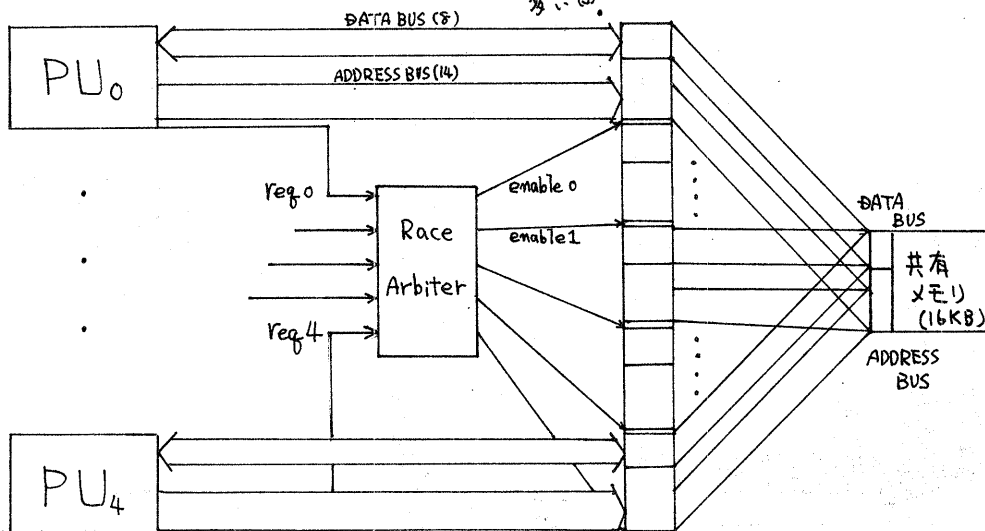


図3 A-W 方式による共有メモリシェア

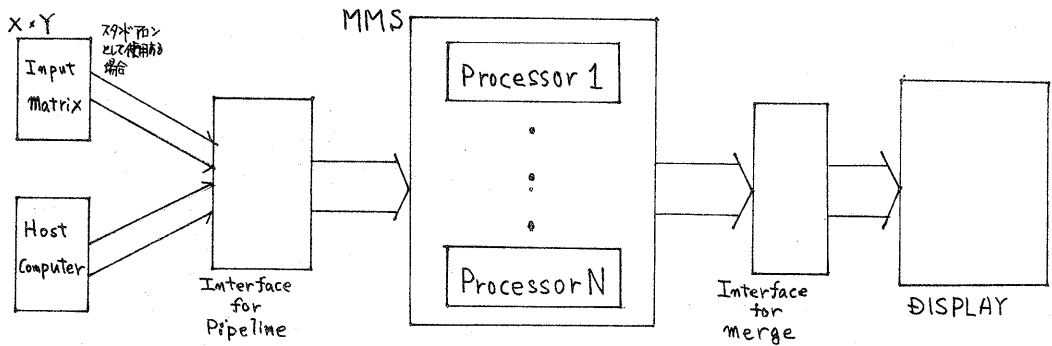


図4 画像表示用マルチマイクロプロセッサシステム

一方、専用機化するとその上限は大きくできりこみレーションによる上限は32程度もあり並列効果を上げる方向で研究が進められている。いずれにしても並列処理の促進にはオーバーヘッドの問題を解決しなければならない。

なお、AKOVSTではスタンドアロンの場合にも一応の動作が行えるよう、入力マトリクスとして $16 \times 16$ のビットパターンを入力する専用装置(写真1)も備えており、ビットマトリクス入力を接続行列として実際の装置(写真2)へ与え、表示させると写真3のようになる。

この場合、スーパーバイザプロセッサはプロセッサへのデータの分配、集約及びビデオRAMへの転送を受持っている。

具体例を1つ述べるとスーパーバイザは16

$\times 16$ のビットパターンを図5のように(1,1)(1,2)(1,3)…要素の順にサーチし、1の要素を見つければ空いているプロセッサPUを $i = 1$ から4の順にサーチし、見つかったプロセッサへ直線を描くよう指示する。(コードの位置は指定された位置に描かれる。)

なお、ここで述べた画像表示は primitiveの一例を述べたにすぎない。本来、画像表示において処理を伴うような問題(例えば"隠線消去")もインテリジェントターミナルが受持つて良いと思われる。そのような場合のソフトウェアについても検討中である。

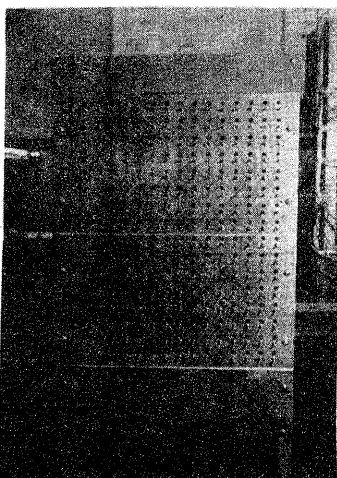


写真1

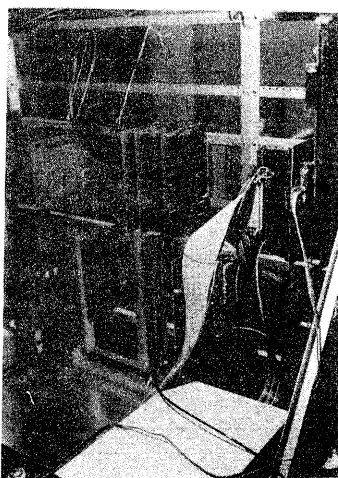


写真2 (AKOVSTの一部)

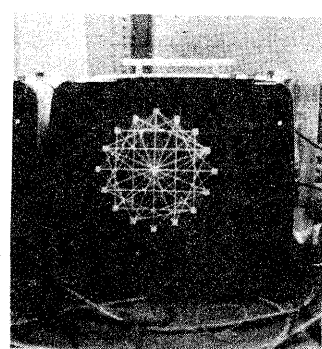


写真3

\* この入力装置は漢字の1文字入力装置としても使用できる。

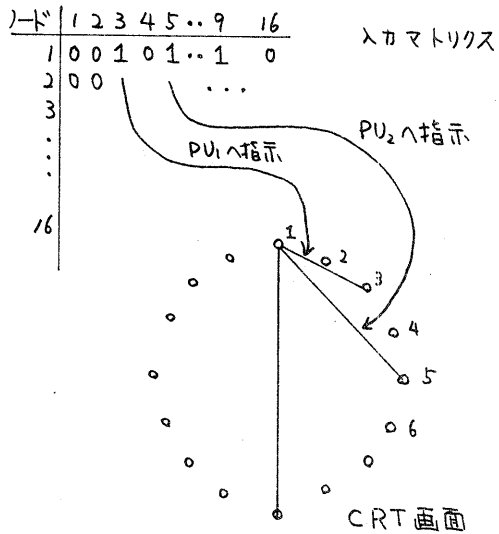


図5. 並列画像表示

#### 4. 並列処理の効果について

従来、並列化に適した問題としては行列演算がしばしばとりあげられており、実際に並列処理システムが作られた例もある。

一方、我々はオーバーヘッド軽減のオードヘッドウェア化によるとの見方から、オードウェア化による並列処理の促進を進めている(6)~(8)。

メモリのコンテンションが並列処理プロセッサ数の上限になることから(3), AKO VSTでは時間インターリープ形の共有メモリを用いている。(図3中で用いているアービタの回路図を付図1に示す。)

各台のプロセッサからコモンメモリへアクセスする部分だけをとり出して(最も競合が激しい場合)考えてみる。

マスター-プロセッサからの割込みにより、スレーブプロセッサが一斉にコモンメモリをアクセスする場合、2節のプログラム例から、R-A方式では図6のようになる。

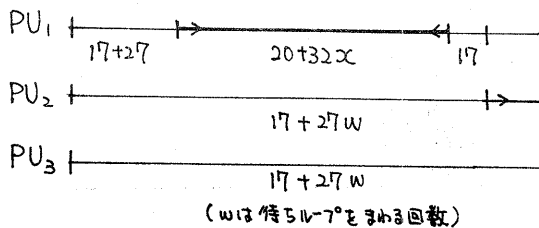


図6 R-A方式でのコモンメモリアクセス

このときの平均待ち時間は

$$T_w = \frac{m-1}{2} \cdot \frac{1}{\mu} \quad (3)$$

ここで  $\mu$  はスレーブプロセッサがメモリへアクセスする時間(ステート数)で  $1/\mu \approx 3.2\mu$ 。

(3)式から、プロセッサ数、アクセスワード数を大きくすると、その値で待ち時間が大きくなる。

これに対して A-W方式では図7のようになり、平均待ち時間(3)式の  $1/\mu$  は  $3 \ll 32\mu$  であり、R-A方式に比べ格段の効率化が望める。2バイトめ以降のアクセスに関して、各プロセッサが独立に実行できる部分  $\oplus = 2^9$  ピュモンメモリアクセス部分  $\ominus = 3$  ピの比  $\oplus/\ominus$  が大きくなれば(アクセス頻度の低下)その比の値近くまで並行アクセスが可能である。

R-A方式とA-W方式とで、各台のプロセッサが同時にコモンメモリへ  $2^9$  Byteのアクセスを試みた場合の平均転送時間とグラフ1ヒグラフ2に示す。

実際に、3節の入力マトリクスの表示では、親プロセッサがコマンドバッファへ線分1本につき3Byteの指示を置き、スレーブプロセッサに割込みをかけて実行させ、結果をコモンメモリ中の各自のバッファに書き込む。それらを親プロセッサが収集して表示する。(図8)。

その実行速度を比較したものと図9に示す。

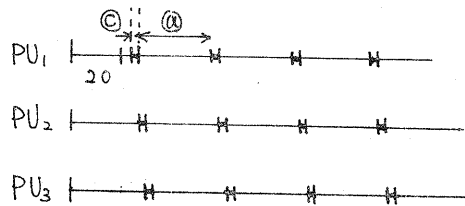
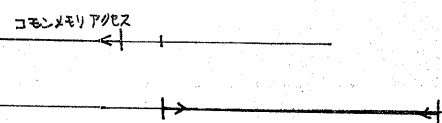
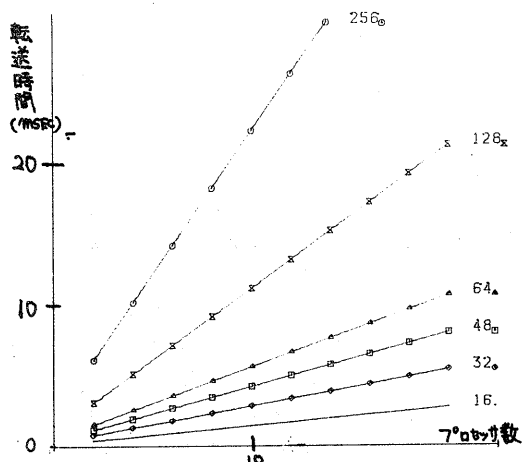


図7. A-W方式でのコモンメモリアクセス





グラフ1. R-A 方式による輸送時間

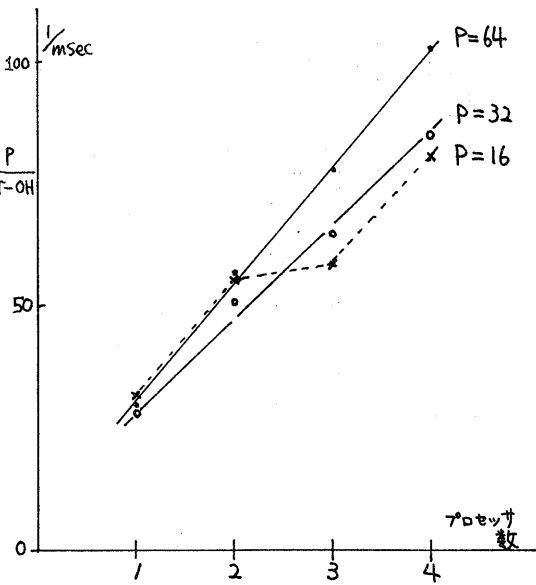
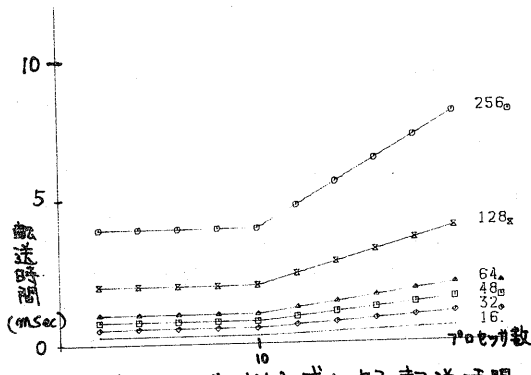


図9 並列化による処理速度の向上

この図9は、仕事量( $P$ :線分の本数)でマスター・プロセッサが転送している時間(図8の＊部)を差し引いた処理時間で割った値(処理速度)をプロットした。

この結果、並列実行により処理速度はほぼプロセッサ数に比例しているので、メモリにすること無くはあまりない。またその比例定数は、ステーブル・プロセッサでの処理時間が短かいもの程より小さくなっている。



グラフ2. A-W 方式による輸送時間

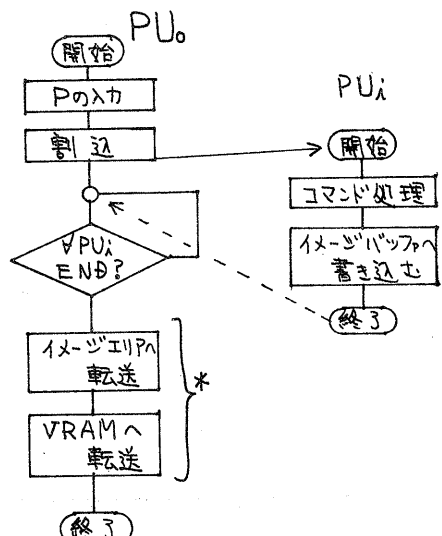


図8 並列画像表示アルゴリズム

## 5. 相互診断の方式

マルチ・プロセッサシステムのような分散型システムでは互いに診断しあうことによって、異常の発生ユニットを自動的に指摘するようなシステム（さらには、それらのユニットを除外して全体としては正常に働くシステム）を構成する方式が考えられる<sup>(9)</sup>。

このような診断方式のモデル化は、古くから理論的には取り扱われており<sup>(10)</sup>、マルチ・プロセッサシステムとしての扱いもすでに幾つか考察されている<sup>(11)(12)</sup>。このような取り扱いで用いられているモデルをPMCモデル（付録2参照）では図10のように、すべてのユニットの検査結果を総合して、真に故障の疑いの強いユニットを指摘するためのスーパーバイザが存在し、そのスーパーバイザはハードコア化されていなければならぬ。このハードコアの存在は、AKO

VSTはもちろん、一般に安価なマイクロプロセッサ及びメモリチップを用いるシステムでは適當な仮定とはいえない。

そこで、AKOVSTではスープバイザの存在を仮定しない診断方式をとる。

さらに、個々の診断の方式はPMCモデルより修正を加えたVancura & Kimeのモデル(VKモデル)<sup>(3)</sup>を用いる。VKモデルでは、複数個のユニットが協力して他のユニットを診断することを許される。

スープバイザの存在を仮定しない診断方式をとるため、並に次のような仮定を置く。

**<仮定C>** 正常なユニット群は連結である。  
強

この仮定は、ユニット自体のハードコア化を計る代わりに、ユニットの集合としてのハードコア化を考えるべく用いられた仮定で、現実のシステムを考える上で適切なものと思われる(図11参照)。

次に、故障するユニット数については、通常PMCモデルで行なわれているよう高々7個という仮定もおく。従って一般には

$$|\bar{F}| \gg 7$$

(ただし $\bar{F}$ は正常なユニットの集合で $| \cdot |$ は元の数をあらわす。)という仮定のもとで議論を進めていく。

故障ユニットが存在したら、そのユニットからの検査結果は信頼ができない。したがって**<仮定C>**が成立するためには、

### P1. 強連結な診断グラフ $G = (V, E)$

より、故障ユニットの集合 $\bar{F}$ に相当するノードを除去したとき<sup>†</sup>,  $G$ はやはり連結でなければならない。

P1に関しての理論的问题については別の機会にゆずる。

†

同時に、それらに付随する技も除去する。

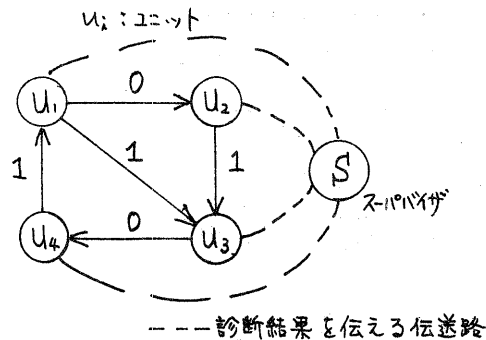


図10 分散形計算機システムの

PMCモデルによる診断

注 (ユニットの結合の仕方は例として挙げただけで、AKOVSTとは関係ない)

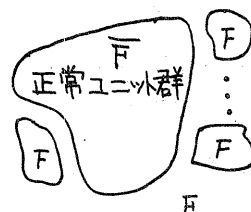


図11 <仮定C> の説明図

### 6. 診断システムプログラム

5節で述べた診断方式をAKOVSTでは次のようにして実現している。

1) 診断グラフは図12のようにホイール(wheel)である。

ここで、wheelとした理由は次のとおりである。

AKOVSTは先に述べたように、全ユニット数が6(処理プロセッサ4, スープバイザ(ただし、ハードコアではない)1, 通信用共有メモリ1)であり、本来は図12で示したシステムであるから、星(star)状の結合しかない(図13)。starが信頼性に欠けることは周知の通りである。

高々1個のユニットの故障に対しても、**<仮定C>**が成立する結合の例としてループ(loop)状の結合が挙げられるが、プロセッサ間通信の速度に問題がある。AKOVSTは前述のように、プロセッサ間通信のハードウェア化に特長があり、図13の結合に本来の並列処理の目的のために必要である。そこでループの形

状を保ったままで信頼性をあげる形態に修正したのが図12のホールである。

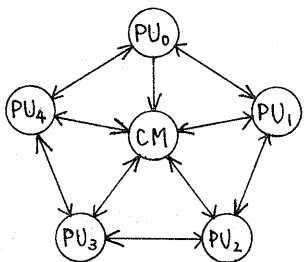


図12 A K O V S Tにおける診断グラフ

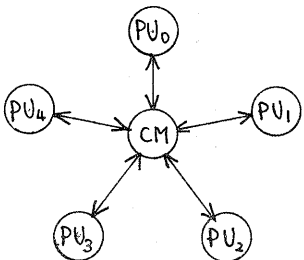


図13 A K O V S T本来のプロセッサ間通信形態

P2. ホール状ネットワークでは高々2個のユニットが故障してもく仮定<>は成立つ。

このような性質をふまえ、A K O V S Tでは次のようなアルゴリズムに基づく自転診断を行なうシステムプログラムを作成した。

### 乙) 診断アルゴリズム

#### phase 0 自己診断

unit  $i$  ( $i=0, 1, \dots, 4$ ) は自分自身をテストする。異常があればユニット交換。

#### phase 1 故障ユニット数を高々1個と仮定。

##### [step 1]

各ユニットから出発して、時計方向に一周する向きにテストを行う。

例えば、unit 0 から

$PU_0 \rightarrow PU_1 \rightarrow \dots \rightarrow PU_4 \rightarrow PU_0$  の順にテストメッセージを送る。

このようなテストをループテストと呼ぶ。

正常なら "Step 2 (a)" へ。  
異常があれば "Step 2 (b)" へ。

##### [step 2]

$PU_i \rightarrow CM \rightarrow PU_j \rightarrow CM \rightarrow PU_i$  の順にメッセージを送るテストを  $T_{ij}$  と記す。

(a) すべての  $T_{ij}$  が正常なら "Step 3 (a-0)" へ。

異常があれば "Step 3 (a-1)" へ。

(b) 各書式順序に  $T_{ij}$  を行い、異常が見つかった時点で

b-1.  $T_{xj}$  ( $x$  は  $i$  以外のもの) を行い  
すべて異常なら "Step 3 (b-1)" へ。  
さもなくば、次へ。

b-2.  $T_{xi}$  ( $x$  は  $i$  以外のもの) を行い  
すべて異常なら "Step 3 (b-2)" へ。  
さもなくば、phase 2 へ。

##### [step 3]

(a-0) すべてのユニットが正常である旨のX-1ループ上で巡回させ、同意されれば"すべて正常。さもなくば、phase 2 へ。

(a-1) すべての  $PU_i$  が  $CM$  をテストして結果を巡回させ。すべてが  $CM$  は異常。さもなくば phase 2 へ。

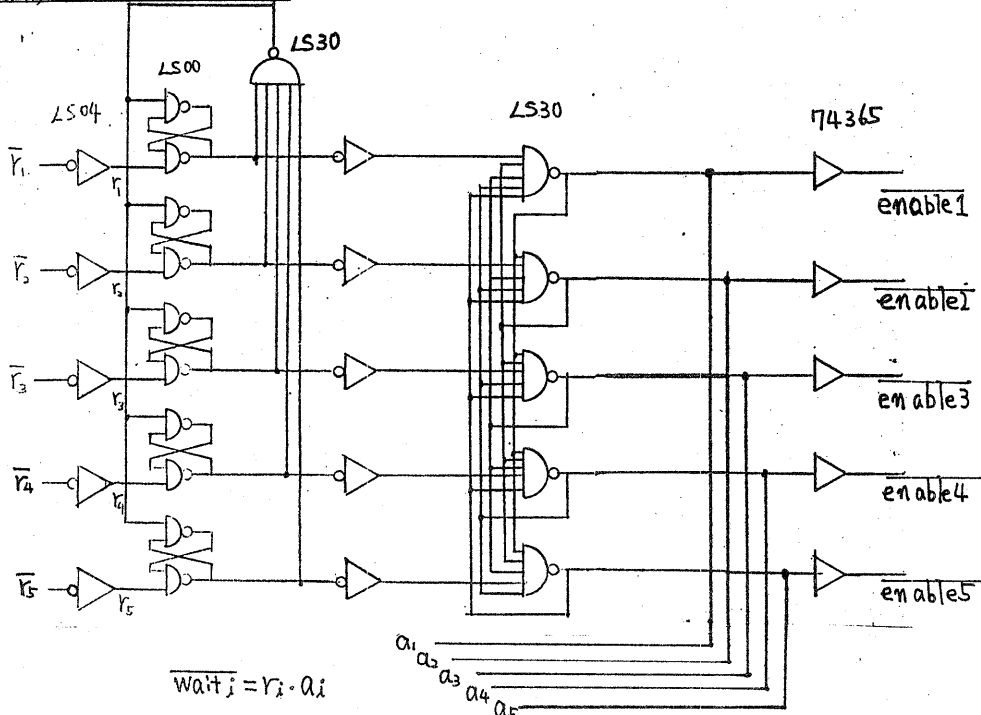
(b-1)  $PU_j$  が異常である旨を  $PU_j$  を除き、 $CM$  を巡回ループで巡回させ、同意されれば  $PU_j$  は異常。さもなくば phase 2 へ。

(b-2)  $PU_i$  が異常である旨を  $PU_i$  を除き、 $CM$  を巡回ループで巡回させ、同意されれば  $PU_i$  は異常。さもなくば phase 2 へ。

#### phase 2 故障ユニット数を2個として同様の手法を展開。(省略)

なお、現在の A K O V S T では、図12の診断の方向のうち、ループは時計方向のみしかインボリュートされていないため、単一ユニット故障しか検知できない。しかし、スパイラルを仮定しない一般的な分散形システムにおける相互診断法への応用について、今後、さらに詳しい検討を行な予定である。

付(録)図1 アービタ回路図



付録2 PMCモデル

まず Preparata, Metze & Chien のモデル (PMCモデルと略す) を述べる。

分散形計算機システムにおける各ユニットを節点に、2つのユニット間の検査を有向弧に割り当てる。得られる有向グラフ (これをネットワークと呼ぶ) の上で、故障ユニットの指摘を行うことを診断問題と呼ぶ。

各ユニット  $U_i$  は

- (1) 相異なる  $U_j$  を検査可能、または
- (2) 相異なる  $U_j$  によって検査されることが可能

とする。ただし、(1), (2) とも成立してもよい。 $U_i$  が  $U_j$  を「故障」と判定すれば、 $U_i$  が  $U_j$  へ向う枝の重みとして与える。

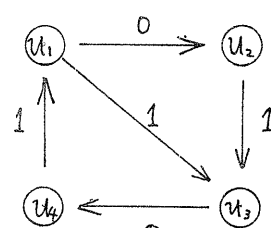
故障ユニットの集合下には2つの条件

[条件1]  $U_i \in \bar{F} = V - F$ ,  $U_j \in F$  なるすべての  $(U_i, U_j) \in E$  に対して  $e_{ij} = 1$

[条件2]  $U_i, U_j \in \bar{F}$  なるすべての  $(U_i, U_j) \in E$  に対して  $e_{ij} = 0$

が課せられ、この条件を満足する  $F \subseteq V$  を「無矛盾故障集合」という。

付図aのようなシンドロームをもつネットワークで表わされる分散形計算機システムを考えてみよう。無矛盾故障集合  $F$  をすべて列挙すると  $\{U_1, U_2, U_3, U_4\}$ ,  $\{U_4, U_3, U_2\}$ ,  $\{U_4, U_2, U_3\}$ ,  $\{U_2, U_3\}$ ,  $\{U_1, U_3\}$ ,  $\{U_3, U_4\}$  となる。通常、故障の発生はユニット数が多くなるにつれ、同時に起る頻度は減少するという経験的な事実から、真に故障の疑いの強いユニットの集合として、最少個数の元からなる無矛盾故障集合をその候補としてあげる。



付図a ネットワークの例

## 文献

- (1) 阿江, 大崎, Vuong : "小規模マルチマイクロプロセッサシステムの一方式", 信学会電算機研究会 EC-78-35 (1978)
- (2) 阿江, 高橋, 川口, 神川 : "インターリース形共有メモリとモジュラーフロセッサシステム A KOVST", 信学会情報システム部門会議 381 (1979)
- (3) たとえば, 情報処理: 特集「分散処理」, 20, 4 (1979)
- (4) たとえば, 市川, 堀村, 諸陽, 相馬 : "連想フロセッサ ARS", 信学論(D), J61-D, 10, pp. 743-750 (1978)
- (5) 高橋, 吉村 : "並列フロセッタ処理実験装置", 情報処理, 20, 4, pp. 319-322 (1979)
- (6) 阿江, 高橋, 片山, 伊藤 : "イメージフロセシング用小規模マルチフロセッサシステム MIP-1", 電気学会中支連大 62310 (1979)
- (7) 阿江, 高橋, 千葉 : "ディスクレイ端末としてのMIP-1 とかの応用", 同上 62311 (1979)
- (8) 阿江, 高橋, 千葉, 松本 : "画像処理マルチフロセッサシステムのデータフロー化について", 信学会大講演会 1980.3.7 講演
- (9) C. Bellon et G. Saucier : "On line test modelling in non-redundant distributed systems", Proc. FTCS-7, p. 94 (1977)
- (10) F. P. Preparata, G. Metze and R. T. Chien : "On the assignment problem of diagnosis systems", IEEE Trans. Electronic Computer, EC-16, 6, p. 848 (Dec. 1967)
- (11) 阿江, 大崎 : "自己診断システムにおけるネットワーク構造と計算複雑さ", 信学論(D), J62-D, 2, pp. 126-132 (1979)
- (12) 阿江, ブンバンクイ : "分散形計算機システムの診断理論 —構造と検査ノード一からみた診断複雑さ—", 信学会オートマトンと言語研究会 AL79-33 (1979)
- (13) R.P. Vancura and C.R. Kime : "On numerical bounds in diagnosable systems", Proc. FTCS-2, pp. 148-153 (1972)

謝辞 システムの製作に当っては、計算機研の神川正博（現中國計算センター）、川口秀樹（現日立造船情報システム）、新谷哲生（現安立電気）および電子回路研の輝平盛康各氏の援助を受けており、厚く御礼申上げる。また、本研究の一部は文部省科学研究所の補助によるものである。